

Экспериментальная проверка эффективности тепловой диагностики трения в системе подшипников скольжения с учетом скорости вращения вала

Тихонов Р.С.

Институт проблем нефти и газа СО РАН,
Россия, Республика Саха (Якутия),
677007, г. Якутск, ул. Автодорожная, д. 20.

При стендовых и эксплуатационных испытаниях узлов трения машин и механизмов существующими способами практически невозможно измерить силу трения. В подобных случаях перспективным является использование метода тепловой диагностики трения, позволяющего определять момент силы трения в подшипниках скольжения по температурным данным. Метод основан на факте, что практически вся энергия, затрачиваемая на трение, переходит в тепло и сводится к измерению температуры в окрестности зоны трения, построению математической модели и решению граничной обратной задачи восстановления фрикционного тепловыделения и, соответственно, мощности трения.

Рассмотрим систему полимерных подшипников скольжения. Стальной вал вращается с угловой скоростью Ω и опирается на N втулок, изготовленных из антифрикционного материала и жестко закрепленных со стальными корпусами (рис.1).

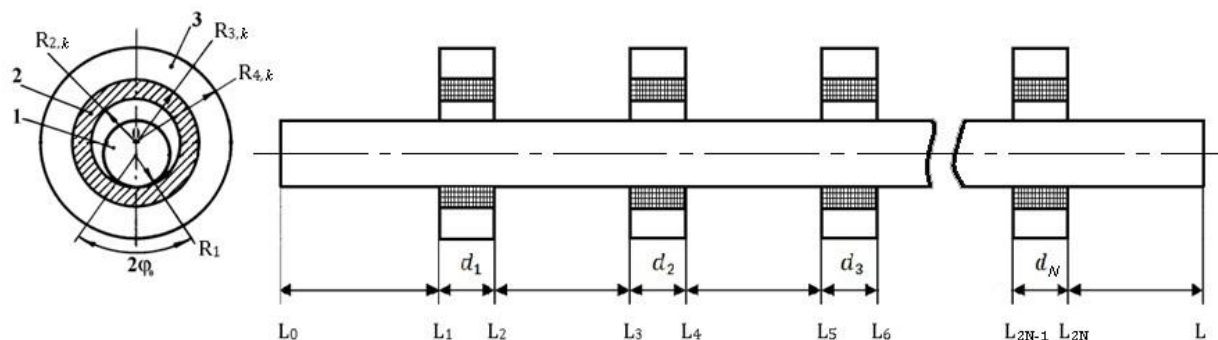


Рис.1. Геометрическая схема систем подшипников скольжения: 1 – вал; 2 – вкладыш (втулка); 3 – обойма (корпус)

При допущении однородности распределения теплоты по длине подшипников и корпусов, поскольку теплоотдача от их торцевых поверхностей незначительна, то уравнение распределение теплоты в подшипниках описывается квазилинейным двумерным уравнением теплопроводности:

$$C_{i,k}(T_k) \frac{\partial T_k}{\partial t} = \frac{1}{r} \frac{\partial}{\partial r} \left(r \lambda_{i,k}(T_k) \frac{\partial T_k}{\partial r} \right) + \frac{1}{r^2} \frac{\partial}{\partial \varphi} \left(\lambda_{i,k}(T_k) \frac{\partial T_k}{\partial \varphi} \right), \quad (1)$$

$$R_{2,k} < r < R_{4,k}, \quad -\pi < \varphi < \pi, \quad 0 < t \leq t_m, \quad k = 1, 2, \dots, N, \quad i = 2, 3,$$

$i = 2$ – для втулки, $i = 3$ – для обоймы.

Распределение температуры в вале опишем трехмерным уравнением теплопроводности с конвективным членом, учитывающим скорость его вращения:

$$C_1(U) \frac{\partial U}{\partial t} = \frac{1}{r} \frac{\partial}{\partial r} \left(r \lambda_1(U) \frac{\partial U}{\partial r} \right) + \frac{1}{r^2} \frac{\partial}{\partial \varphi} \left(\lambda_1(U) \frac{\partial U}{\partial \varphi} \right) +$$

$$+ \Omega C_1(U) \frac{\partial U}{\partial \varphi} + \frac{\partial}{\partial z} \left(\lambda_1(U) \frac{\partial U}{\partial z} \right), \quad (2)$$

$$0 < r < R_1, \quad -\pi < \varphi < \pi, \quad 0 < t \leq t_m.$$

В зонах трения вала с втулками зададим условие фрикционного тепловыделения:

$$\frac{\lambda_1(U)}{d_k} \int_{L_{2k-1}}^{L_{2k}} \frac{\partial U(r, \varphi, z, t)}{\partial r} dz \Big|_{r=R_1} - \lambda_{2,k}(T_k) \frac{\partial T_k(r, \varphi, t)}{\partial r} \Big|_{r=R_{2,k}} = Q_k(\varphi, t), \quad |\varphi| \leq \varphi_0, \quad (3)$$

$$\frac{1}{d_k} \int_{L_{2k-1}}^{L_{2k}} U(R_1, \varphi, z, t) dz = T_k(R_{2,k}, \varphi, t). \quad (4)$$

где d_k – длина k -го подшипника.

На остальных границах зададим традиционные условия первого и третьего рода. Начальное распределение температуры будем считать однородным.

Обратная задача определения функций фрикционного тепловыделения решалась методом итерационной регуляризации на основе градиентных методов минимизации функционала невязки:

$$J[Q_1(\varphi, t), \dots, Q_N(\varphi, t)] = \frac{1}{2} \sum_{k=1}^N \int_0^{t_m} \int_{-\varphi_0}^{\varphi_0} [T_k(R_f, \varphi, t) - f_k(\varphi, t)]^2 d\varphi dt. \quad (5)$$

Итерационная схема последовательного приближения функций $Q_k(\varphi, t)$, $k = 1, 2, \dots, N$ записывается следующим образом:

$$Q_k^{s+1}(\varphi, t) = Q_k^s(\varphi, t) - \beta_k^s S_k^s(\varphi, t), \quad s = 0, 1, 2, \dots, \quad (6)$$

$$S_k^s(\varphi, t) = J'[Q_k^s(\varphi, t)] + \gamma_k^s S_k^{s-1}(\varphi, t), \quad \gamma_k^0 = 0,$$

$$\gamma_k^s = \frac{\int_0^{t_m} \int_{-\varphi_0}^{\varphi_0} (J'[Q_k^s(\varphi, t)])^2 d\varphi dt}{\int_0^{t_m} \int_{-\varphi_0}^{\varphi_0} (J'[Q_k^{s-1}(\varphi, t)])^2 d\varphi dt}, \quad (7)$$

где градиенты функционала $J'[Q_k(\varphi, t)]$ определялись решением сопряженной задачи. Шаги спуска β_k^s вычислялись решением системы линейных уравнений:

$$\begin{aligned} \sum_{i=1}^N \beta_i^s \sum_{k=1}^N \int_0^{t_m} \int_{-\varphi_0}^{\varphi_0} V_{k,\omega}(R_f, \varphi, t) V_{k,i}(R_f, \varphi, t) d\varphi dt = \\ = \sum_{k=1}^N \int_0^{t_m} \int_{-\varphi_0}^{\varphi_0} [T_k(R_f, \varphi, t) - f_k(\varphi, t)] V_{k,\omega}(R_f, \varphi, t) d\varphi dt, \quad \omega = 1, 2, \dots, N, \quad s = 0, 1, 2, \dots \end{aligned} \quad (8)$$

где $V_{k,w}$ – приращения температуры в k -ом подшипнике, если все приращения функций фрикционного тепловыделения, кроме ΔQ_w , равны нулю.

Экспериментальная проверка проводилась с использованием модуля для испытаний на трение и износ антифрикционных полимерных композиционных материалов. Модуль представляет собой опирающийся на четырех подшипниках полый вал, который соединен к приводу машины трения СМТ-1. Все 4 образца нагружены одинаково, диаметр вращающего вала составлял 24 мм, втулки выполнены из антифрикционного композиционного материала Ф4К20 в виде цилиндра размера $\varnothing 25 \times \varnothing 32 \times 20$ мм, расстояние между

подшипниками составляло 80 мм. В расчетах использовались следующие теплофизические свойства материалов:

Коэффициент теплопроводности наполненного фторопласта Ф4К20 $\lambda_2=0,07(T-100)/150+0,35$ (Вт/(м·°C)), объемная теплоемкость $C_2=(6 \cdot 10^{-3}(T-30)+3) \cdot 10^6$ (Дж/(м³·°C)). Для стали $\lambda_1=30,5(T-100)/150+55,5$ (Вт/(м·°C)), $C_1=(1,2 \cdot 10^{-3}(T-30)+3,7) \cdot 10^6$ (Дж/(м³·°C)).

При частоте вращения вала 30 об/мин расчетами определен шаг по времени равный 1/18 секунд, обеспечивающий сходимость приближенных решений с точностью менее 1 градуса. Температуры в зонах трения во втулках регистрировались с помощью многофункционального модуля L-Card E-502 в четырех точках каждого подшипника с частотой измерения 180 Гц, угол контакта в подшипниках составлял 60°.

Ввиду осцилляции с большой амплитудой в измерениях температур выборки температурных данных обрабатывались путем фильтрации медианным методом. Выбрались по 10 последовательных измерений, которые упорядочивались по возрастанию и отбрасывались 3 минимальных и 3 максимальных членов ряда. По оставшимся реализациям случайной величины вычислялось математическое ожидание и дисперсия. Затем температурные данные сглаживались кубическими сплайнами.

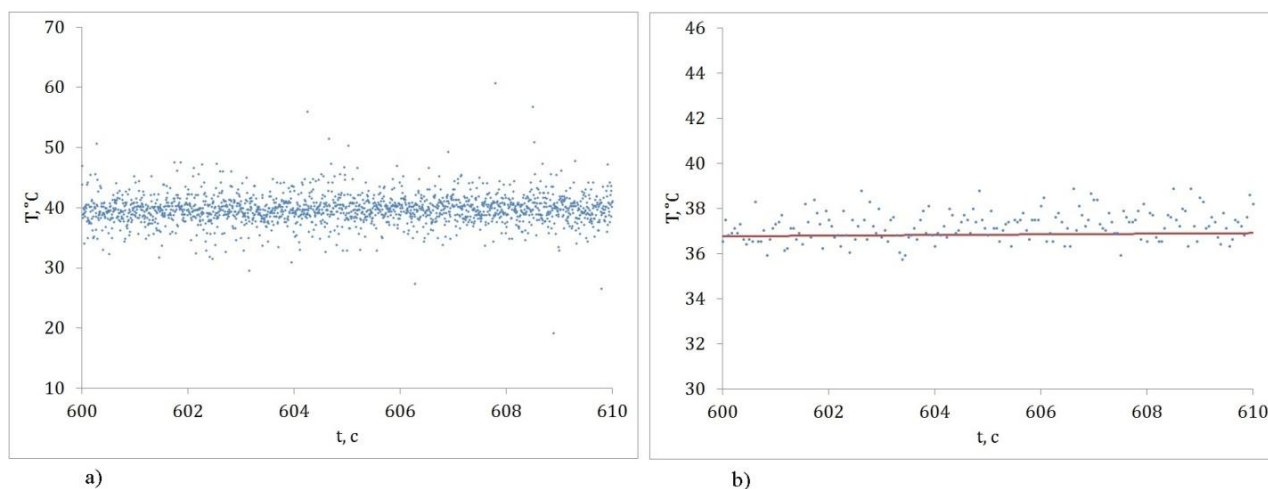


Рис.2. Характерные температурные данные: а) замеры температур модулем L-Card E502 при $\varphi = 15^\circ$ на расстоянии 0,5 мм от зоны трения на

некотором участке времени, б) значения температур обработанные медианным фильтром и сглаженные кубическими сплайнами

На рисунке 3 показано статистически обработанные и сглаженные температурные данные в подшипниках 1 - 4 при $\varphi = 15^\circ$ на промежутке времени испытания.

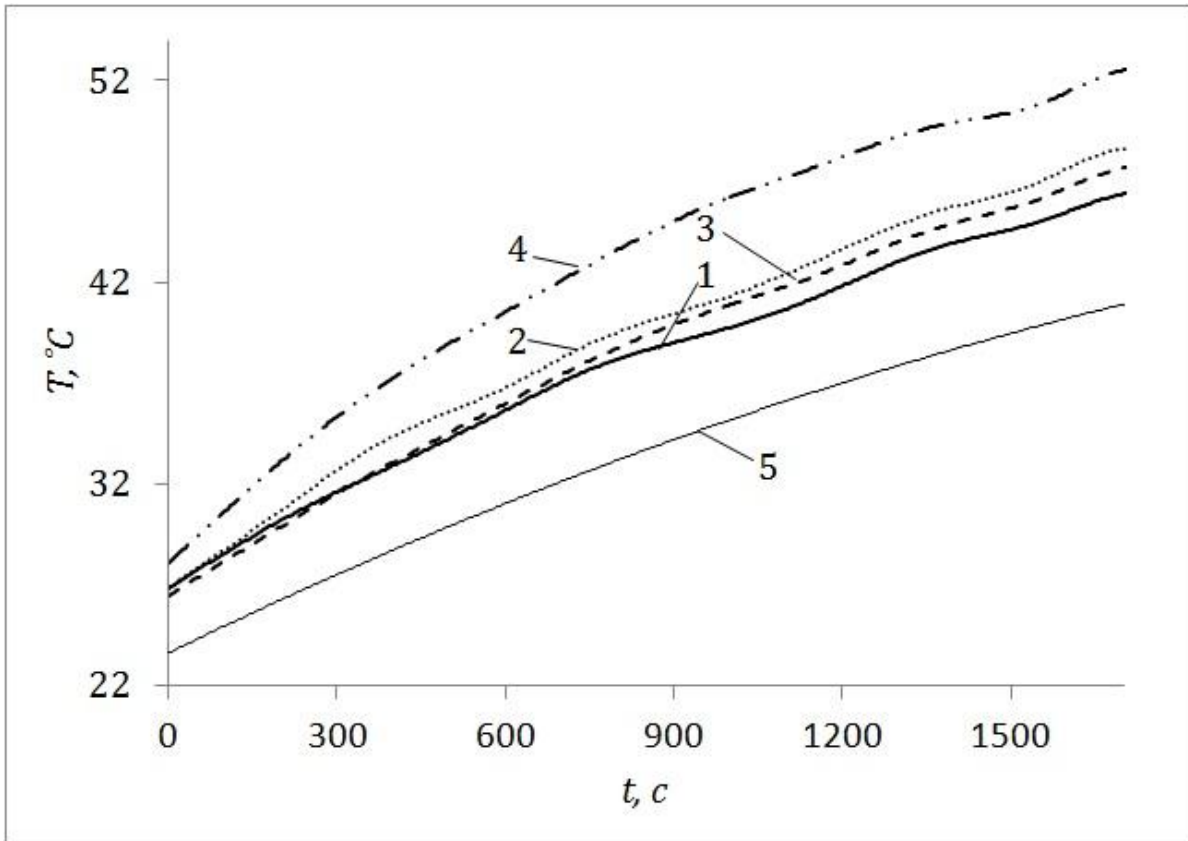


Рис.3. Измеренные временные зависимости температур: (1-4) – в подшипниках с соответствующими номерами при $\varphi = 15^\circ$ на расстоянии 0,5 мм от зоны трения; 5 – на поверхности конца вала

Полученные таким способом температурные данные использовались для восстановления функций удельных интенсивностей тепловыделения путем решения обратной задачи. Зависимости моментов трения от времени определялись по формуле:

$$M_k(t) = \frac{R_1 d_k}{\Omega(t)} \int_{-\varphi_0}^{\varphi_0} Q_k(\varphi, t) d\varphi. \quad (9)$$

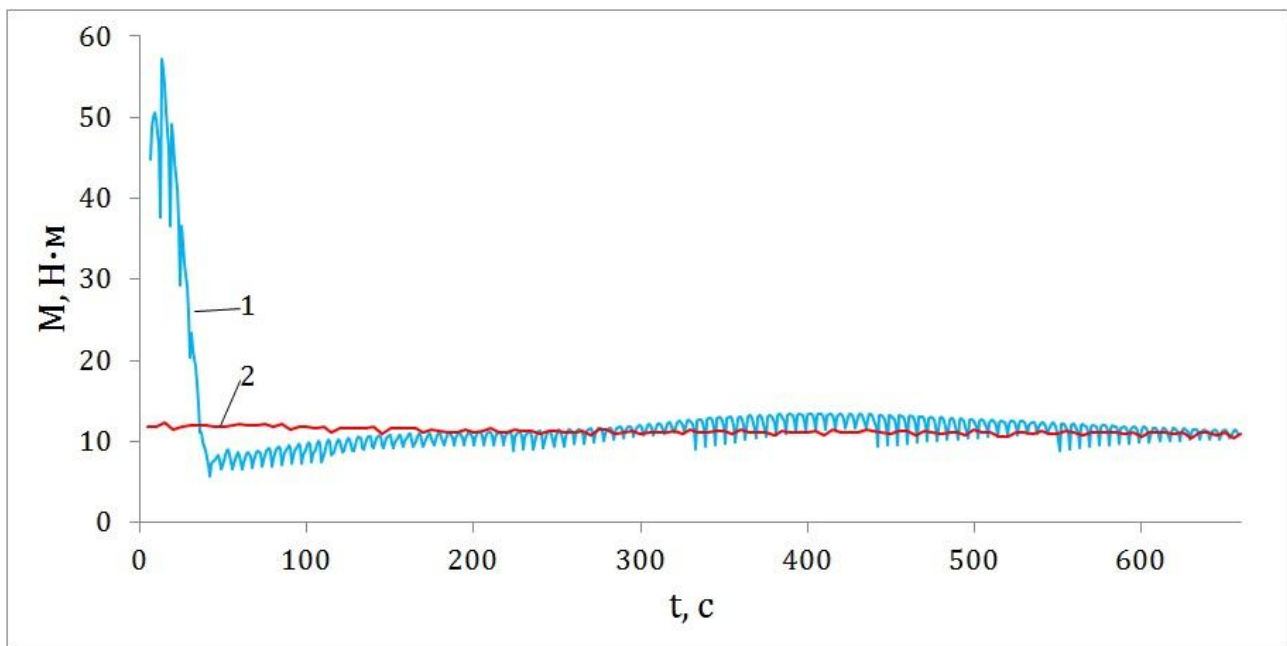


Рис.4. Временные зависимости суммарных моментов трения: 1- восстановленные по температурным данным; 2 – измеренные индуктивным датчиком момента трения

Расхождение расчетных и измеренных значений моментов трения в начале временного интервала обусловлено инерционностью реального теплового процесса, которое не учитывается используемым уравнением теплопроводности. В связи с этим расчетные значения момента трения в течение 30-40 секунд в начале процесса трения как не информативные могут быть исключены. Тогда расхождение между расчетным и измеренным значениями моментов трения не превышает 10-15 %.